

بررسی تنوع آللی زیر واحدهای گلوتنین با وزن مولکولی پایین در ژنوتیپ‌های تجاری گندم نان (*Triticum aestivum* L.) ایران با استفاده از نشانگرهای اختصاصی

حمید حسینیان خوشرو^{۱*}، محمدرضا بی‌همتا^۱، محمد اسماعیل حسنی^۲ و منصور امیدی^۳
۱، ۲، ۳، دانشجوی کارشناسی ارشد، استاد، استاد پردازش کشاورزی و منابع طبیعی دانشگاه تهران
(تاریخ دریافت: ۸۸/۲/۹ - تاریخ تصویب: ۸۸/۱۰/۱۵)

چکیده

جهت بررسی تنوع آللی در بلوک‌های ژنی کدکننده پروتئین‌های ذخیره‌ای گندم زیر واحدهای گلوتنین با وزن مولکولی پایین (LMW-GS) بین ۶۲ ژنوتیپ از گندم‌های نان، نه جفت آغازگر اختصاصی برای مکان‌های ژنی (*Glu-A3, Glu-B3, Glu-D3*) بکار گرفته شد. برای تفکیک محصولات واکنش PCR از ژل آگاروز ۲ درصد استفاده شد. نتایج نشان داد که تنوع قابل ملاحظه‌ای بین ژنوتیپ‌های گندم نان ایران وجود دارد. بطوری که برای بلوک ژنی *Glu-A3* بوسیله دو جفت آغازگر (*Glu-A3.1,2*) در مجموع هشت آلل شناسایی گردید که در بین آنها آلل *c* با فراوانی نسبی ۰/۳۱۱ بیشترین فراوانی را به خود اختصاص داد. برای بلوک ژنی *Glu-B3* در مجموع ۱۷ آلل، بوسیله سه جفت آغازگر اختصاصی (*Glu-B3.1, 2, 3*)، شناسایی شد که آلل *f* با فراوانی نسبی ۰/۱۴۵ بیشترین فراوانی را داشت. برای بلوک ژنی *Glu-D3* در مجموع ۲۲ آلل، بوسیله چهار آغازگر اختصاصی (*Glu-D3.1, 2, 3, 4*) شناسایی شد که آلل *h* با فراوانی نسبی ۰/۱۷۴ بیشترین فراوانی را در بین آلل‌های شناسایی شده به خود اختصاص داد. با استفاده از شاخص نی میزان تنوع ژنتیکی به ترتیب برای بلوک ژنی *A3* برابر ۰/۸۱۸، برای بلوک ژنی *B3* ۰/۹۱۴ و برای بلوک ژنی *D3* ۰/۹۱۵ بdst آمد. میانگین تنوع ژنتیکی (H) برای بلوک‌های ژنی *Glu-3* در بین ژنوتیپ‌های مورد مطالعه برابر با ۰/۸۹۴ بdst آمد. میزان تنوع ژنتیکی برای هر آغازگر نشان داد که آغازگر *Glu-D3.3* قادر به شناسایی آلل‌های چند شکلی بیشتری نسبت به آغازگرهای دیگر است. تجزیه ارتباطی داده‌های کیفی و مولکولی با استفاده از روش رگرسیون گام به گام نشان داد که ده آلل دارای بیشترین R^2 برای صفات درصد گلوتن مرطوب و خشک می‌باشد. تنوع شناسایی شده در این پژوهش می‌تواند به عنوان منبع با ارزش تنوع آللی در برنامه‌های اصلاحی به منظور بهبود کیفیت محصولات نهایی حاصل از گندم بهره برد.

واژه‌های کلیدی: گندم نان (*Triticum aestivum* L.), زیر واحد گلوتنین با وزن مولکولی پایین (LMW-GS)، تنوع آللی، آغازگرهای اختصاصی.

گیاه زراعی دنیا و به منزله عامل حیات و زندگی برای مردم است. ایجاد تنوع در تولیدات صنایع غذایی تبدیلی

مقدمه
گندم (Triticum aestivum L.) به عنوان مهمترین

خمیر در گندم نان و دروم، در سال‌های اخیر مطالعات گستره‌ای در سطح پروتئین در گندم نان و خویشاوندان نزدیک آن صورت گرفته است. اما تنوع ژنتیکی در سطح DNA برای LMW-GS هنوز به طور کامل شناخته نشده است. و تنوع طولی^۱ ژن‌های کدکننده GS LMW-GS بوسیله نشانگرهای اختصاصی کمتر مورد مطالعه قرار گرفته است. اغلب ژن‌های کدکننده LMW-GS، یک انتهای آمینه کوتاه (۱۳ اسید آمینه‌ای) و بسیار حفاظت شده و یک انتهای کربوکسیل که دو سوم طول پیتید را شامل می‌شود و نسبت به انتهای آمینه ناپایدارتر است، را دارا می‌باشد. در بین این دو ناحیه، ناحیه تکراری، از تعداد واحدهای تکراری تشکیل شده که مسئول اصلی تنوع در طول ژن‌ها می‌باشد; (Long et al., 2005; D'ovidio et al., 2004). تنوع در طول ژن‌ها و تعداد سیستئین دو عامل موثر در کیفیت پروتئین شناخته شده است (Long et al., 2008).

تا کنون چندین آغازگر اختصاصی بر مبنای انتهای کربوکسیل و انتهای آمینه که نواحی حفاظت شده‌اند، برای گروهی از ژن‌های موجود در بلوك ژنی *Glu-3* طراحی شده است. با استفاده از نشانگرهای اختصاصی امکان شناسایی آلل‌های که بدليل همپوشانی پروتئین‌های گلیادین با زیر واحدهای LMW-GS ناشناخته مانده‌اند، فراهم می‌شود (Wang et al., 2008). در ژنوم گندم، فراهم می‌شود؛ (Huang et al., 2005; Chardot et al., 2002) بررسی تنوع طولی ژن‌های کدکننده LMW-GS توسط آغازگرهای اختصاصی در گندم نان با توجه به پتانسیل‌شان ممکن است اطلاعات بسیار با ارزشی را برای فرآیندهای اصلاحی فراهم آورد. هدف از این تحقیق بررسی تنوع آللی در بلوك‌های ژنی کدکننده LMW-GS و مطالعه همبستگی آنها با صفات کیفی مهم در بین ارقام گندم نان می‌باشد.

1. Length variation

از قبیل نان، شیرینی، ماکارونی، و نودول‌ها و همچنین بخار ارزان بودن تهیه منبع تقریباً غنی از پروتئین‌های گیاهی موجب شده است که اکثر ملل و ملت‌ها گندم را در سبد غذایی خود قرار دهند.

پروتئین‌های ذخیره‌ای گندم از دسته پرولامین‌ها بوده که اهداف‌کننده شرایط الاستیتیکی، کشسانی و چسبندگی خاصی به خمیر در حال توسعه می‌باشد. این پروتئین‌ها به دو دسته گلوتن و غیر گلوتن تقسیم می‌شوند. مطلوبیت آرد برای تهیه نان بستگی به کمیت و کیفیت گلوتن گندم دارد. پروتئین‌های گلوتنی گندم به دو دسته گلیادین‌ها (یک زنجیره‌ای) و گلوتنین‌ها (چند زنجیره‌ای) تقسیم می‌شوند. که از مدت‌ها قبل به عنوان عوامل تعیین کننده، ارزش نانوایی و ارزش محصولات دیگر حاصل از گندم شناخته شده است (D'Ovidio et al. 1997). این دو گروه مواد مجموعاً ۸۵ درصد از کل پروتئین ذخیره‌ای در گندم را تشکیل می‌دهند (D'ovidio et al., 2004). در ادامه گلوتنین گندم به لحاظ وزن مولکولی به دو گروه، زیر واحدهای گلوتنین با وزن مولکولی بالا (HMW-GS) و زیر واحدهای گلوتنین با وزن مولکولی پایین - (LMW-GS) تقسیم می‌شوند. پروتئین‌های گلوتنین در خمیر در حال توسعه بوسیله باندهای کووالانسی که بین اسید آمینه‌های سیستئین موجود در زیر واحدهای گلوتنین با وزن مولکولی بالا و پایین تشکیل می‌شوند، خواص کیفی خمیر جهت تولید محصولات نهایی آرد را سبب می‌شوند. (Glu-1) ها توسط ژن‌های (HMW-GS) مکان‌های *Glu-A1*, *Glu-B1*, *Glu-D1* که بر روی بازوی بلند کروموزوم‌های ۱A, ۱B, ۱D قرار دارند کد می‌شوند. زیر واحدهای گلوتنین با وزن مولکولی پایین (*Glu-A3*) توسط ژن‌های *Glu-3* شامل (LMW-GS) *Glu-B3*, *Glu-D3* که به صورت بلوك ژنی هستند و بر روی بازوی کوتاه کروموزوم‌های ۱A, ۱B, ۱D قرار دارند، کد می‌شوند (Masci et al., 1998; Johal et al., 2004). *Glu-A3* در مقایسه با LMW-GS تنوع آللی بسیار بیشتری دارند اما بدليل همپوشانی آنها با گلیادین‌ها در ژل SDS-PAGE امکان شناسایی آلل‌های بیشتر را با مشکل مواجه کرده است (Wang et al., 2005). به دلیل رابطه نزدیک و معنی‌دار تنوع آللی LMW-GS با کیفیت

(*T. turgidum, durum*) و ۲۰ نمونه گندم وحشی دیپلولوئید موجود در بانک ژن مؤسسه تحقیقات اصلاح و نهال و بذر کرج به منظور کنترل فعالیت آغازگرها بکار گرفته شده است. DNA ژنومی از برگ‌های تازه گندم به (Murray & Thompson, CTAB روш تغییر یافته ۱۹۸۰) بررسی تنوع آلی استخراج گردید.

مواد و روش‌ها

مواد گیاهی و استخراج DNA

در این آزمایش از ۶۲ رقم گندم نان (Triticum aestivum L.) موجود در کلکسیون بانک ژن دانشکده کشاورزی دانشگاه تهران (جدول ۱) به منظور بررسی تنوع آلی، چهار رقم گندم تترابلولوئید

جدول ۱- اسامی، صفات کیفی مهم** و آلل‌های شناسایی شده** در سطح پروتئین برای بلوك ژنی *Glu-3*

در ارقام گندم نان مورد مطالعه

رقم	kg	SDS	شاخص گلوتن	عدد فالینگ	درصد پروتئین	وزن هکتو لیتر	سال معروف
پی.تک	۷۶/۴۶	۱۲/۴۷	۸۰/۸/۸	۴۰/۷۳	۶۶/۳۳	b	b
آذر	۷۹/۸۲	۱۱/۱	۸۴۲/۴	۴۸/۹۷	۶۱	b	c
اترک	۸۸/۲۲	۱۱/۷۷	۷۸۲/۸	۳۲	۵۱	e	c
مغان	۸۲/۴۷	۱۱/۹۷	۹۹۴/۱	۴۶/۷۸	۶۰/۳۳	c	b
داراب	۷۹/۸۲	۱۲/۲۷	۶۰/۹/۲	۴۱/۹۱	۷۴/۶۷	d	h
زین	۸۰/۲۹	۱۱/۶۳	۸۴۲/۴	۴۸/۹۷	۶۱	b	c
سرداری	۷۷/۸۷	۱۲/۳	۱۰/۰	۴۱/۴۶	۵۱/۳۳	d	h
پنجمامو	۸۲/۳۷	۱۱/۸	۵۸۴/۹	۳۰/۶۸	۴۰/۳۳	e	f
زاگرس	۷۶/۴۶	۱۲/۴۷	۸۰/۸/۸	۴۰/۷۳	۶۶/۳۳	e	i
ریحانی	۷۹/۶۸	۱۲/۰/۳	۴۹۳/۱	۳۱/۸۲	۵۳/۳۳	e	a
بولبوبی	۷۹/۶۸	۱۱/۵	۸۹۱/۵	۲۷/۹۹	۵۶/۶۷	e	g
آرزاوتین	۷۹/۶۸	۱۱/۵	۸۹۱/۵	۲۷/۹۹	۵۶/۶۷	c	b
اینبیاء	۷۹/۱۶	۱۲/۲۳	۹۱۵/۲	۴۱/۲۵	۶۳/۳۳	d	d
ک. آزادی	۸۱/۷۲	۱۰/۸۷	۸۰/۵/۵	۲۰/۹۶	۲۹/۶۷	*	*
الموت	۷۷/۸	۱۲/۲۳	۵۵۹/۱	۲۳/۰۵	۳۱/۳۳	e	c
آزادی	۸۰/۳۹	۱۱/۰/۷	۶۳۸/۸	۴۰/۰۱	۴۶/۳۳	c	b
۲ آذر	۷۹/۶۸	۱۱/۵	۸۹۱/۵	۲۹/۹۹	۵۶/۶۷	*	*
دیپهم	۷۹/۶۸	۱۱/۵	۸۹۱/۵	۲۷/۹۹	۵۶/۶۷	c	e
قدس	۷۶/۴۶	۱۲/۴۷	۸۰/۸/۸	۴۰/۷۳	۶۶/۳۳	c	e
بیات	۷۹/۶۸	۱۲/۰/۳	۴۹۳/۱	۳۱/۸۲	۵۳/۳۳	c	a
سرخ تخم	۷۹/۶۸	۱۱/۵	۸۹۱/۵	۲۷/۹۹	۵۶/۶۷	c	a
ک. بیات	۷۹/۶۸	۱۱/۵	۸۹۱/۵	۲۷/۹۹	۵۶/۶۷	b	d
بیستون	۷۶/۴۶	۹/۱	۶۶۶/۲	۲۸/۷۴	۵۳/۶۷	*	*
امید	۷۷/۴۱	۱۱/۴	۶۹۴/۳	۳۸/۳۶	۳۹/۶۷	e	a
البرز	۸۰/۴۱	۱۱/۸۷	۷۶۰/۷	۴۶/۳۸	۵۶/۳۳	c	a
شعله	۷۹/۳۶	۱۳/۱	۶۶۶/۲	۲۸/۷۴	۵۳/۶۷	c	e
تجن	۸۲/۳۷	۱۱/۸	۵۸۴/۹	۳۰/۶۸	۴۰/۳۳	a	d
دستجردی	۷۸/۱۲	۱۱/۰/۷	۵۰/۴/۲	۳۳/۴۱	۴۴	c	f
عطایی	۸۰/۱۵	۱۱/۹	۶۹۰	۲۲/۰/۳	۳۸/۳۳	e	a
گازرسنگ	۷۹/۴	۱۱/۰/۳	۷۲۱/۶	۳۷/۶۵	۶۲	e	b
چمران	۸۱/۴۱	۱۰/۵۷	۵۱۳/۳	۱۹/۲۶	۴۵/۶۷	c	e
چمران	۸۱/۷	۱۲/۱۳	۵۸۹/۳	۳۴/۷	۵۵/۳۳	*	*
رسول	۷۹/۴	۱۱/۰/۳	۷۲۱/۶	۳۷/۶۵	۶۲	*	*
زرندی	۷۸/۴	۱۲/۵۳	۷۷۳/۲	۴۰/۰۲	۶۶/۶۷	*	*
کاوه	۷۹/۶۸	۱۱/۵	۸۹۱/۵	۲۷/۹۹	۵۶/۶۷	c	a
ق. ورامین	۸۱/۷۲	۱۰/۸۷	۸۰/۵/۵	۲۰/۹۶	۲۹/۶۷	c	a
۱ خزر	۷۷/۸	۱۲/۳۳	۵۵۹/۱	۲۳/۰۵	۳۱/۳۳	c	b
طبی	۷۹/۴	۹/۱	۸۹۱/۵	۲۷/۹۹	۵۶/۶۷	e	b
۱ داراب	۷۶/۸۷	۱۲/۵۷	۹۹۳/۶	۲۹/۹۸	۴۶/۳۳	d	i
ک. البرز	۸۲/۰۹	۱۱/۸۷	۸۳۵/۳	۴۶/۶۶	۶۲/۶۷	*	*
ک. ارون	۷۴/۴۸	۱۲/۱	۴۸۵/۶	۳۳	۳۷	*	*
ع. جدید	۷۴/۴۸	۱۲/۱	۴۸۵/۶	۳۳	۳۷	e	c
۲ کرج	۷۶/۸۷	۱۲/۵۷	۹۹۳/۶	۲۹/۹۸	۴۶/۳۳	c	b
توباری	۷۸/۱۶	۱۲/۷	۸۰/۰/۷	۲۵/۶۹	۳۰	c	d
ع. قدیم	۷۴/۴۸	۱۲/۱	۴۸۵/۶	۳۳	۳۷	a	b

رقم	kg	درصد پروتئین	وزن هکتولیتر	عدد فالینگ	شاخص گلوتون	SDS	حجم رسوب	دادمه جدول ۱		
								سال معرفی	Glu-A3	Glu-B3
۲	۷۳/۸	۱۲/۹	۹۹۳/۶	۲۹/۹۸	۴۶/۳۳	e	c	b	*	
آکوا	۸۱/۰۱	۱۱/۷	۵۰۰/۹	۲۴/۶۳	۴۵/۳۳	a	b	a	۱۳۳۷	
فلات	۷۸/۳۷	۱۱/۳۷	۸۵۹/۵	۲۶/۹۶	۴۳/۶۷	c	b	b	۱۳۶۹	
الموت	۸۰/۲۲	۱۱/۷۷	۷۸۲/۸	۳۲	۵۱	*	*	*	۱۳۷۴	
M-72-7	۸۲/۴۷	۱۱/۹۷	۹۹۴/۱	۴۶/۷۸	۶۰/۳۳	*	*	*	*	
ک. امید	۷۶/۷	۱۱/۹	۶۱۷/۷	۳۴/۶۴	۳۰	*	*	*	*	
اروند	۷۶/۸۷	۱۲/۵۷	۹۹۳/۶	۲۹/۹۸	۴۶/۳۳	*	*	*	۱۳۵۲	
گلستان	۸۲/۰۹	۱۱/۶۷	۸۳۵/۳	۴۶/۶۶	۶۲/۶۷	c	b	c	۱۳۶۵	
بزوستایا	۷۹/۹	۱۲/۱	۷۴۱/۴	۵۰/۰۱	۶۴/۳۳	*	*	*	۱۳۴۸	
چناب	۷۵/۱۷	۱۲/۵	۵۶۶/۴	۲۹/۹۲	۵۶	e	c	a	*	
کرج	۷۹/۴	۱۱/۰۳	۷۲۱/۶	۳۷/۶۵	۶۲	e	e	a	۱۳۵۲	
M-73-18	۸۰/۲۲	۱۱/۷۷	۷۸۲/۸	۳۲	۵۱	*	*	*	*	
بولانی	۸۲/۴۷	۱۱/۹۷	۹۹۴/۱	۴۶/۷۸	۶۰/۳۳	e	a	a	قدیمی	
الوند	۷۶/۵	۱۲/۱۷	۶۲۰/۱	۳۷/۷۲	۳۰/۶۷	e	b	a	۱۳۷۴	
معان ۱	۷۹/۰۶	۱۱/۴۳	۱۰۰/۸	۳۶/۰۱	۵۰/۳۳	c	b	b	۱۳۵۲	
کارون	۷۹/۴	۱۱/۰۳	۷۲۱/۶	۳۷/۶۵	۶۲	d	d	d	*	

* داده‌ها در دسترس نیست. ** داده‌های کیفی از منبع (Eizadi. 2000) و داده‌های آلتی از منبع (Akbari. 2008) اقتباس شده است.

محاسبه تنوع ژنتیکی

بمنظور محاسبه تنوع ژنتیکی در مکان ژنی *Glu-3* از شاخص Nei (1973) استفاده گردید. در این فرمول اگر P_i فراوانی نسبی آلل i ام در یک مکان ژنی در جمعیت مورد بررسی باشد در این صورت تنوع ژنتیکی در این مکان ژنی برابر است با:

$$\xi = 1 - \sum P_i^2$$

برای محاسبه تنوع ژنتیکی متوسط (H) به صورت میانگین ξ ‌ها در تمام مکان‌های ژنی از فرمول پیشنهادی Nei (1973) به صورت زیر استفاده می‌شود:

$$H = \frac{N}{N-1} \times \frac{\sum_j (1 - \sum_i P_{ij}^2)}{N_j}$$

در این فرمول N تعداد واریته، P_{ij}^2 فراوانی نسبی آلل i ام از مکان ژنی j ام و N_j تعداد مکان‌های ژنی می‌باشد.

شناسایی آلل‌ها

آلل‌ها بوسیله الگو باندی پیشنهادی Long et al. (2008) شناسایی گردیدند. بر طبق این الگو باندهایی که متفاوت از باند تولید شده در رقم CS¹ بودند به عنوان یک آلل در نظر گرفته می‌شوند.

تهیه آغازگرها

در این آزمایش نه جفت آغازگر اختصاصی برای مکان‌های ژنی *Glu-A3*, *Glu-B3*, *Glu-D3* به کار رفته که همه آنها توسط Long et al. (2005) از روی ژنوم گندم CS طراحی گردیده‌اند (جدول ۲). از این نه جفت آغازگر به ترتیب دو جفت آغازگر تهیه شده از ژنوم A، سه جفت آغازگر تهیه شده از ژنوم B و چهار جفت آغازگر تهیه شده از ژنوم D می‌باشند. شایان ذکر است هر یک از این آغازگرها تنها گروهی خاصی از ژن‌های بلوك ژنی *Glu-3* را تکثیر می‌کند.

واکنش زنجیره‌ای پلیمراز PCR

واکنش زنجیره‌ای پلیمراز (PCR) در حجم ۱۵ میکرولیتر، که حاوی ۱U Taq DNA پلیمراز، ۱/۵ میکرولیتر بافر (10X) PCR، ۵۰ نانوگرم از DNA زنومی، ۱/۲ میکرولیتر از MgCl₂ (100 mM)، ۱/۵ میکرولیتر از هر dNTP (100 mM) و ۱/۵ میکرولیتر از هر آغازگر (10 pmol) انجام شد. برنامه PCR به ترتیب ۹۵°C به مدت ۵ دقیقه، ۳۵ سیکل شامل ۹۵°C به مدت ۴۵ ثانیه، ۴۵°C به مدت ۵۰ ثانیه (بسته به دمای اتصال پرایمرها جدول ۲) – ۲۰°C به مدت ۴۵ ثانیه (بسته به دمای بسط نهایی ۷۲°C) به مدت ۷ دقیقه بکار گرفته شده است. محصول حاصل از PCR بر روی ژل آگاروز ۲ درصد تفکیک و ارزیابی شدند.

جدول ۲- مشخصات آغازگرهای اختصاصی

آغازگر	توالی (۳'-۵')	طول قطعه تکثیری (bp)	دماه اتصال (°C)
<i>Glu-A3.1</i>	F: AGTGCCATTGCGCAGATGAAT R: AACGGATGGTTGAACAATAGA	350	۶۰
<i>Glu-A3.2</i>	F: ATGGAGACTAGCTGCATCC R: CTGCAAAAGGTACCCTTT	680	۶۰
<i>Glu-B3.1</i>	F: GCACAAATGGAGAATAGCCAC R: AACAAATGGTATTTGTTGTTG	500	۵۹
<i>Glu-B3.2</i>	F: CCTAGCTTGAGAACCCATT R: CAAGATAGATGGCTGAATAG	450	۵۰
<i>Glu-B3.3</i>	F: ATGGAGACTAGCCACATCCCT R: CACATGGCAACTACTCTGCCA	620, 580	۶۱
<i>Glu-D3.1</i>	F: CCTGGCTTGGAGAACCATC R: CAAGATAGATGGCTGAATAT	500	۵۰
<i>Glu-D3.2</i>	F: ATGGAGACTAGCCCGTCCCT R: ATGGAGACTAGCCCGTCCCT	540	۶۴
<i>Glu-D3.3</i>	F: ATGGAGACTAGATGCATCCCT R: AGATTGGATGGAACCCTGAAC	600	۶۰
<i>Glu-D3.4</i>	F: ATGGAGACTAGCTGCATCT R: CTGCAAAAGGTACCCGTAA	700	۵۲

۵۰۰ bp تا ۶۰۰ شناسایی شد که آلل g با فراوانی نسبی ۰/۰۵۲ و آلل h با فراوانی نسبی ۰/۰۱۶۵ بیشترین و کمترین فراوانی را در بین آلل‌های شناسایی شده به خود اختصاص دادند (جدول ۳). در یک پژوهشی که برای بررسی تنوع طولی ژن‌های کدکننده T. boeticum و LMW-GS نوع a در نمونه‌های T. monococcum گردید (Lnog et al., 2008) (Dubcovsky et al., 1997; Ezadi et al., 2000; Ikeda et al., 2003) میزان تنوع ژنتیکی محاسبه شده برای این بلوک ژنی H=۰/۸۱۸ بدست آمد که با نتایج (Lnog et al., 2008) (H=۰/۰۸۰۶) پژوهش (Ezadi et al., 2000) از نتایج پژوهش دیگر که میزان تنوع برابر H=۰/۷۰۱ بدست آمده بود، بیشتر بود (Ezadi et al., 2000).

بلوک ژنی Glu-B3

در مجموع سه جفت آغازگر اختصاصی CS.1.2.3 (Glu-B3.1.2.3) که از روی DNA گندم نان رقم CS برای بلوک ژنی Glu-B3 طراحی شده بودند و به ترتیب قطعات ۴۵۰، ۴۲۰ و ۴۰۰ bp را در رقم CS تکثیر می‌کردند، هشت آلل شناسایی گردید. بوسیله آغازگر Glu-A3.1 چهار آلل (a, b, c, d) با طول‌های تقریباً ۳۰۰- ۴۰۰ bp در بین ارقام مورد بررسی شناسایی گردید (شکل ۲). آلل c با فراوانی نسبی ۰/۳۱۱ بیشترین و آلل a با فراوانی نسبی ۰/۰۱۳ کمترین فراوانی را به خود اختصاص داد. بوسیله آغازگر Glu-A3.2 چهار آلل e, f, g, h با طول تقریبی بین

نتایج و بحث

آزمون اختصاصی بودن آغازگرها

تمام آغازگرها بکار رفته در این پژوهش از نظر اختصاصی بودن توسط طراحان این آغازگرها، بوسیله لاین‌های دیتلوسومیک¹ رقم CS مورد آزمون قرار گرفته و اختصاصیت آنها مورد تأیید قرار گرفته بود (Long et al., 2005) (Long et al., 2005). جهت اطمینان از فعالیت اختصاصی این آغازگرها، آغازگرها بر روی DNA استخراج شده از نمونه‌های دیپلولئید، تترابلولئید و هگزاپلولئید مورد آزمون قرار گرفته و اختصاصی بودن آنها مورد تأیید قرار گرفت (شکل ۱).

بلوک ژنی Glu-A3

در مجموع بوسیله دو جفت آغازگر اختصاصی Glu-A3.1.2 (Glu-A3.1.2) که برای بلوک ژنی Glu-A3 بکار گرفته شده بود و به ترتیب قطعه bp ۳۵۰ و ۴۸۰ را در رقم CS تکثیر می‌کردند، هشت آلل شناسایی گردید. بوسیله آغازگر Glu-A3.1 چهار آلل (a, b, c, d) با طول‌های تقریباً ۳۰۰- ۴۰۰ bp در بین ارقام مورد بررسی شناسایی گردید (شکل ۲). آلل c با فراوانی نسبی ۰/۳۱۱ بیشترین و آلل a با فراوانی نسبی ۰/۰۱۳ کمترین فراوانی را به خود اختصاص داد. بوسیله آغازگر Glu-A3.2 چهار آلل e, f, g, h با طول تقریبی بین

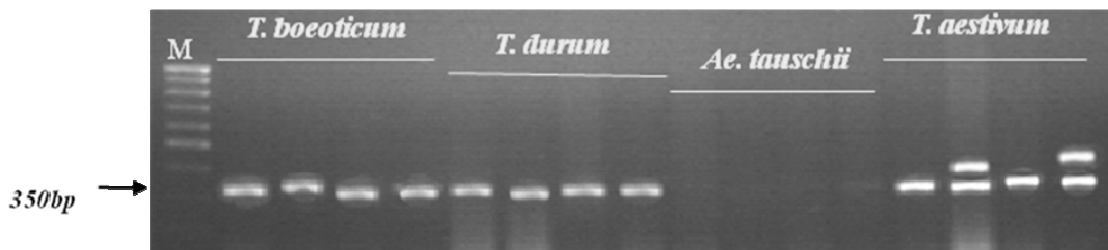
1. Ditelosomal lines

۰/۱۴۵ بیشترین فراوانی را به خود اختصاص داد. در یک پژوهش ۱۲ آلل بوسیله ده نشانگر اختصاصی، برای این بلوك ژنی شناسایی گردید (Wang et al., 2008). در مطالعه دیگر تنوع آللی ۱۰۶ ژنتیپ گندم نان در سطح پروتئین مورد بررسی قرار گرفت و ۲۲ آلل برای این بلوك ژنی شناسایی گردید (Lu et al., 2009).

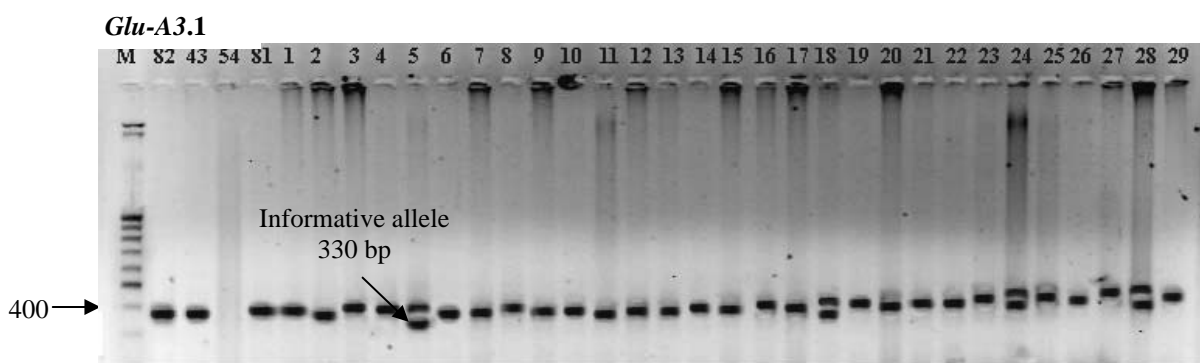
شد که چهار آلل a, b, c, d با طول تقریبی بین ۴۵۰-۵۵۰ bp بوسیله آغازگر Glu-B3.1, شش آلل e, f, g, h, i, j با طول تقریبی ۴۰۰-۵۰۰ bp بوسیله آغازگر Glu-B3.2 و هفت آلل k, l, m, n, o, p, q با طول تقریبی ۵۵۰-۶۵۰ bp بوسیله آغازگر Glu-B3.3 شناسایی شد (جدول ۳) در بین این آلل‌ها، آلل f با فراوانی نسبی

جدول ۳- نوع، فراوانی آلل‌های LMW-GS و تنوع ژنتیکی در نمونه‌های مورد بررسی بر اساس فرمول نی

بلوک ژنی	آغازگر	آلل	فراوانی نسبی	میزان تنوع برای هر آغازگر	میزان تنوع ژنتیکی در هر بلوک ژنی	میانگین تنوع ژنتیکی (H) در جمعیت
<i>Glu-A3</i>		a	0.013	0.872	0.818	
		b	0.105			
		c	0.311			
		d	0.139			
<i>Glu-A3.2</i>		e	0.079	0.946	0.97	
		f	0.132			
		g	0.165			
		h	0.052			
<i>Glu-B3.1</i>		a	0.038	0.968	0.914	
		b	0.121			
		c	0.106			
		d	0.048			
<i>Glu-B3.2</i>		e	0.058	0.977	0.968	0.894
		f	0.145			
		g	0.063			
		h	0.043			
<i>Glu-B3</i>		i	0.033	0.977	0.968	0.914
		j	0.0048			
		k	0.004			
		l	0.048			
<i>Glu-B3.3</i>		m	0.087	0.964	0.977	0.914
		n	0.101			
		o	0.038			
		p	0.019			
<i>Glu-D3.1</i>		q	0.033	0.964	0.977	0.914
		a	0.021			
		b	0.071			
		c	0.142			
<i>Glu-D3.2</i>		d	0.060	0.961	0.977	0.914
		e	0.027			
		f	0.071			
		g	0.092			
<i>Glu-D3</i>		h	0.174	0.994	0.977	0.914
		i	0.005			
		j	0.005			
		k	0.005			
<i>Glu-D3.3</i>		l	0.021	0.994	0.977	0.914
		m	0.010			
		n	0.005			
		o	0.054			
<i>Glu-D3.4</i>		p	0.016	0.99	0.977	0.914
		q	0.043			
		f	0.060			
		s	0.071			
		t	0.010	0.99	0.977	0.914
		u	0.021			
		v	0.005			



شکل ۱- آزمون فعالیت Glu-A3.1. در این شکل M: سایز مارکر، چهار نمونه اول (*T. boeticum* ($2n=2x=14=AA$)): سایز مارکر، چهار نمونه اول (*T. turgidum*, *durum* ($2n = 4x=28=AABB$)): به ترتیب دنا، یاوروس، آریا و کرخه)، چهار نمونه سوم (*Ae. tauschii* ($2n=2x=14=DD$)): به ترتیب دنا، یاوروس، آریا و کرخه)، چهار نمونه آخر ژنتیپ‌های هگزاپلوئید (به ترتیب CS, دستجردی، اترک، شعله). فاقد ژنوم AA می‌باشد، و چهار نمونه آخر ژنتیپ‌های هگزاپلوئید (به ترتیب CS, دستجردی، اترک، شعله).



شکل ۲- چند شکلی در ژن‌های LMW-GS که بوسیله آغازگر Glu-A3.1 شناسایی شده است. M: سایز مارکر (100 bp).

، 81: CS, 82: *T. boeticum*, 43: *T. turgidum*, *durum*; 54: *Ae. tauschii*; 1-29: *T. aestivum*

شناسایی آلل a به عنوان نشانگر آگاهی بخش

آلل‌های شناسایی شده، آلل h با فراوانی نسبی ۰/۷۴ بیشترین فراوانی را داشت. در یک پژوهش ۱۲ آلل بوسیله هفت نشانگر اختصاصی، برای این بلوک ژنی شناسایی گردید (Wang et al., 2008). تعداد آلل شناسایی شده برای این بلوک ژنی بیشتر از تعداد آلل‌های شناسایی شده در سطح پروتئین، نه آلل (Ikeda et al., 2000; et al., 2008) و پنج آلل (Ezadi et al., 2000) (Dubcovsky et al. 1997) بود. میزان تنوع ژنتیکی برای این بلوک ژنی $H=0/910$ بدست آمد که بیشتر از میزان تنوع ($H=0/737$) بدست آمده در سطح پروتئینی بود (Ezadi et al., 2000; Ikeda et al., 2003).

میزان تنوع ژنتیکی بر اساس شاخص Nei (1973) برای مکان‌های ژنی Glu-D3, Glu-B3, Glu-A3 به ترتیب $0/818$, $0/914$ و $0/910$ بود (شکل ۳) و میانگین تنوع ژنتیکی (H) برای بلوک‌های ژنی Glu-3 برابر $0/894$ محاسبه گردید. در یک پژوهشی که تنوع آللی ارقام تجاری گندم نان ایران مورد بررسی قرار گرفت Glu-D3, Glu-B3, Glu-A3 میزان تنوع ژنتیکی برای مکان‌های Glu-A3 به ترتیب $0/706$, $0/824$, $0/737$ و میانگین

همچنین در یک پژوهش دیگر که بر روی ارقام تجاری گندم نان ایران صورت گرفت تعداد نه آلل برای این بلوک ژنی در سطح پروتئین شناسایی شد (Ezadi et al., 2000) (Mizan تنوع ژنتیکی برای این بلوک ژنی $H=0/914$ بدست آمد که بیشتر از میزان تنوع ($H=0/824$) بدست آمده در سطح پروتئینی بود (Ezadi et al., 2000; Ikeda et al., 2003)

Glu-D3

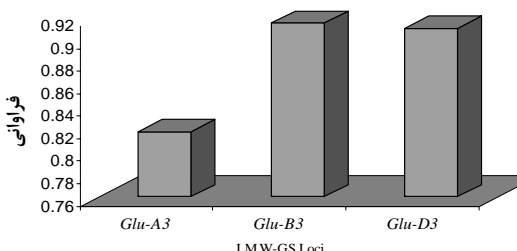
در مجموع بوسیله چهار جفت آغازگر اختصاصی Glu-D3.1,2,3,4 که به ترتیب قطعات 540 , 500 bp, 500 bp, 600 و 700 را در رقم CS تکثیر می‌کردند ۲۲ آلل شناسایی گردید. شش آلل a, b, c, d, e, f با طول تقریبی $450-550$ bp بوسیله آغازگر Glu-D3.1, چهار آلل j, i, g, h, r, s, t, u, v با طول تقریبی $350-550$ bp بوسیله آغازگر Glu-D3.2, هفت آلل k, l, m, n, o, p, q با طول تقریبی $550-650$ bp بوسیله آغازگر Glu-D3.3 و پنج آلل r, s, t, u, v با طول تقریبی $650-750$ bp بوسیله آغازگر Glu-D3.4 شناسایی گردیدند (جدول ۳). در بین

با توجه به نتایج تجزیه رگرسیون مشخص گردید که آلل b از آغازگر *Glu-B3.1* دارای بیشترین R^2 (۰/۰۹۵) برای صفات گلوتن مرطوب و خشک با طول ۵۰۰ bp، آلل f از آغازگر *Glu-B3.2* دارای بیشترین R^2 (۰/۰۷۵) برای صفات حجم نان، رسوب زلنجی و درصد پروتئین با طول ۴۵۰ bp، آلل d از آغازگر *Glu-B3.1* دارای بیشترین R^2 (۰/۰۸۵) برای صفات شاخص گلوتن و وزن هکتو لیتر با طول ۵۲۰ bp، آلل r از آغازگر *Glu-D3.4* دارای بیشترین R^2 (۰/۰۸۸) برای صفت سختی دانه با طول ۷۱۰ bp، آلل a از آغازگر *Glu-A3.1* دارای بیشترین R^2 (۰/۰۱) برای صفت حجم رسوب با طول ۳۳۰ bp، آلل e از آغازگر *Glu-A3.2* دارای بیشترین R^2 (۰/۰۱۶) برای صفت وزن هزار دانه و آلل a از آغازگر *Glu-B3.1* دارای بیشترین R^2 (۰/۰۸۴) برای صفت درصد جذب آب با طول ۴۹۰ bp بود. در یک پژوهش تجزیه ارتباطی بین ۱۱ صفت زراعی و نشانگر SSR (۲۲۱ نشانگر) در گندم نان انجام شد، در نشانگرهای SSR بیشترین میزان R^2 برای شاخص Xwmc44 بود (Roy et al., 2006).

میزان تنوع ژنتیکی (H) محاسبه شده برای هر آغازگر نشان داد که آغازگر *Glu-D3.3* بالاترین میزان تنوع ژنتیکی ($H=0/۹۹۴$) را دارد (جدول ۳). این آغازگر قادر به شناسایی چند شکلی بالایی می‌باشد که می‌تواند اطلاعات مفیدی را در زمینه مطالعات تنوع آلی ژن‌های LMW-GS فراهم آورد.

زیر واحد گلوتنین با وزن مولکولی پایین (LMW-GS) نقش مهمی در تعیین کیفیت خمیر نان دارد (Gupta et al., 1993). اما بدليل پیچیده بودن خانواده ژنی کدکننده LMW-GS نقش همه آنها بخوبی مشخص نشده است. گزارش شده که تنوع آلی در هر یک از مکان‌های ژنی *Glu-3* اثر زیادی بر کیفیت محصول نهایی حاصل از آرد گندم دارد (Appelbee et al., 2007). همچنین گزارش شده با شناسایی دقیق تنوع آلی امکان بهبود کیفیت گندم بوسیله انتخاب آلل‌هایی با اثر مطلوب و ترکیبات آلی درگیر در اثر اپیستازی مطلوب فراهم، می‌شود (Eagles et al., 2002). برخی مطالعات نشان می‌دهد که ناحیه تکراری موجود در ساختار ژنی

(Ezadi et al., 2000) گزارش شد (H) ۰/۷۶۷ همانطور که ملاحظه می‌شود الگوی تنوع ژنتیکی در مکان‌های ژنی *Glu-3* به صورت *Glu-B3>Glu-D3>Glu-A3* هم در سطح نوکلئوتید برقرار است. همچنین میزان تنوع ژنتیکی در بلوك ژنی *Glu-A3* از دو بلوك دیگر کمتر است که با نتایج مطالعات دیگر همخوانی دارد (Gupta et al., 1993; Dubcovsky et al., 1997). همانطور که ملاحظه می‌شود میزان تنوع شناسایی شده در سطح نوکلئوتید بیشتر از سطح پروتئین می‌باشد.



شکل ۳- میزان تنوع ژنتیکی در مکان‌های ژنی *Glu-3*

جدول ۴ تجزیه ارتباطی داده‌های ۱۲ صفت کیفی و مولکولی را با استفاده از روش رگرسیون گام به گام نشان می‌دهد. بیشترین تعداد نشانگر (آل) برای صفات درصد گلوتن مرطوب و خشک (۱۰ آلل) و کمترین مربوط به صفات رسوب زلنجی، حجم نان، درصد جذب آب، عدد فالینگ و حجم رسوب SDS (یک آلل) می‌باشد و همچنین بیشترین R^2 کل مربوط به درصد گلوتن مرطوب (۰/۹۷) است.

جدول ۴- تجزیه ارتباطی داده‌های ۱۲ صفت کیفی و مولکولی گندم نان با استفاده از رگرسیون گیری گام به گام

R^2T	R^2Max	(T)	تعداد نشانگر	صفت
۰/۱۷۵	۰/۱۰۶	۲		وزن هزار دانه
۰/۷۷۱	۰/۲۷۵	۹		درصد پروتئین
۰/۰۷۵	۰/۰۷۵	۱		رسوب زلنجی
۰/۰۹	۰/۰۹	۱		حجم نان
۰/۱۹۸	۰/۰۸۸	۲		سختی دانه
۰/۰۸۴	۰/۰۸۴	۱		جذب آب
۰/۰۹۴	۰/۰۹۴	۱		عدد فالینگ
۰/۹۷۱	۰/۰۹۵	۱۰		درصد گلوتن مرطوب
۰/۷۰۶	۰/۰۸۹	۱۰		درصد گلوتن خشک
۰/۲۵۰	۰/۱۵۹	۲		شاخص گلوتن
۰/۱	۰/۱	۱		حجم رسوب (SDS)
۰/۵۸۵	۰/۰۸۵	۷		وزن هکتو لیتر

R^2 مجموع کل R^2 تغییر شده نشانگرها آگاهی بخش برای صفات کیفی R^2 بیشترین R^2 تغییر شده مربوط به یک نشانگر برای صفات کیفی

بوجود آمدن ترکیبات آللی بهتری نسبت به دو مکان ژنی دیگر شده است.

نتیجه گیری کلی

نتایج حاصل از این پژوهش نشان داد که تنوع آللی قابل ملاحظه‌ای در بلوک‌های ژنی *Glu-3* در ارقام گندم نان مورد مطالعه در سطح نوکلئوتید وجود دارد. که از این تنوع می‌توان به عنوان منبع با ارزش تنوع آللی، ژن‌های LMW-GS، در بهبود کیفیت آرد گندم استفاده کرد. مطالعه در سطح DNA می‌تواند اطلاعات بیشتری نسبت به سطح پروتئین در زمینه مطالعات ژنتیکی، شامل تنوع ژنتیکی، تنوع آللی، مطالعات در روند تکامل ژن و ژنوم فراهم کند. با شناسایی آلل‌هایی که چند شکلی بالایی از خود نشان دارند (مانند آلل *n* که توسط آغازگر *Glu-D3.2* شناسایی شد) می‌توان متعاقباً این آلل‌ها را توالی‌یابی کرده و ساختار آنها را به منظور تعیین تعداد سیستئین و طول ناحیه تکراری (دو عامل موثر در کیفیت پروتئین) مورد مطالعه قرار داد. با یافتن آلل‌هایی که دارای همبستگی بالایی با صفات مرتبط با کیفیت محصول نهایی گندم دارند می‌توان ژنوتیپ‌هایی با کیفیت بالا را در مراحل اولیه رشد گیاه انتخاب کرد. بنابراین از ژنوتیپ‌های گندم نان و خویشاوندان آنها که حاوی آلل‌های جدید مرتبط با کیفیت بالا برای LMW-GS هستند را می‌توان به عنوان منبع با ارزش تنوع ژنی در برنامه‌های اصلاحی با هدف بهبود کیفیت محصولات حاصل از گندم بکار گرفت.

سپاسگزاری

از معاونت پژوهشی دانشکده علوم و مهندسی کشاورزی دانشگاه تهران بخاطر تأمین هزینه طرح و همچنین از سازمان تحقیقات کشاورزی و بخش غلات موسسه تحقیقات اصلاح و نهال بذر کرج به خاطر در اختیار گذاردن بذر مورد نیاز قدردانی می‌گردد.

LMW-GS از تعداد واحدهای تکراری تشکیل یافته که مسئول اصلی تنوع در طول ژن‌ها می‌باشد. این تنوع ممکن است به دلیل پدیده حذف و یا اضافه در تعداد واحدهای تکراری (D'Ovidio et al., 2004) که به احتمال زیاد بوسیله یک کراسینگ‌آور نابرابر و یا سرخوردن در طول همانندسازی^۱ (Shewry et al., 1989; Lnog et al., 2005) آغازگرهای بکار رفته بر مبنای انتهای آمینه و انتهای کربوکسیل طراحی گردیده‌اند در نتیجه این آغازگرهای ناحیه تکراری را تکثیر می‌کنند (Lnog et al., 2005). پس می‌توان گفت تفاوت مشاهده شده در طول قطعات مربوط به پدیده کمبود و اضافه در سطح DNA است که در ناحیه تکراری رخ می‌دهد. اما دلیل اینکه برخی از ژنوتیپ‌ها (مثلًاً دستجردی و شعله) دارای دو قطعه از قطعه مورد نظر می‌باشند احتمالاً، علاوه بر دلایلی که در فوق ذکر گردید ممکن است از یک ژن دو کپی در یک بلوک ژنی وجود داشته باشد، و همچنین از آنجایی که ژنوتیپ‌های مورد مطالعه در این پژوهش مربوطه به جمع‌آوری از توده‌های بومی از تلاقی برخی از ارقام داخلی با همدیگر و یا با ارقام خارجی است لذا چنین نتایجی قابل انتظار است (Ezadi et al., 2000). در مطالعه‌ای که به منظور ارزیابی آلل‌های متفاوت برای هر مکان ژنی *Glu-3* از نظر صفت گسترش خمیر^۲ صورت گرفته نشان داده شده که فراوانی نسبی آلل‌های با کیفیت بالا در *Glu-D3* که بیشترین اثر را روی این صفت دارند، از فراوانی آلل‌های با کیفیت بالا *Glu-B3* (Gupta et al., 1993; Dubcovsky et al., 1997; Ezadi et al., 2000) که تنوع بالای موجود در مکان ژن *D3*، باعث

1. Slippage during replication

2. Extension

REFERENCES

1. Akbari Rad, M. (2008). *Evaluation of genetic diversity in some of the commercial variety and promising lines bread wheat for different traits related to quality of bakery*. M. Sc. thesis. Azad University of Karaj. (In Farsi).
2. Appelbee, M. (2007). *Quality potential of gluten protein in hexaploid and related wheat species*. Ph. D. dissertation, University of Adelaide.
3. Chardot, T., Do, T., Perret, L. & Lauriere, M. (2002). *Heterogeneity of genes encoding the low molecular weight glutenin subunits of bread wheat*. In: Renard D, Delle Valle G, Popineau Y (eds) Plant

- biopolymer science: food and non-food applications. Royal Society of Chemistry, Cambridge, pp 24–30.
4. D'ovidio, R., Simeone, M., Masci, S. & Porceddu, E. (1997). Molecular characterization of a LMW-GS gene located on chromosome 1B an the development of primers specific for the *Glu-B3* complex locus in durum wheat. *Theoretical and Applied Genetics*, 95, 1119-1126.
 5. D'ovidio, R. & Masci, S. (2004). The low-molecular-weight glutenin subunits of wheat gluten. *J Cereal Sci*, 39, 321-339.
 6. D'Ovidio, R., Marchitelli, C., Cardelli, L. E. & Porceddu, E. (1999). Sequence similarity between allelic Glu-B3 genes related to quality properties of durum wheat. *Theoretical and Applied Genetics*, 98, 455–461.
 7. Dubcovsy, J., Echaide, M., Giancola, S., Rousset, M., Lou, M. C., Joppa, L. R. & Durak, J. (1997). Seed-storage-protein loci in RFLP maps of diploid, tetraploid, and hexaploid wheat. *Theoretical and Applied Genetics*, 95, 1169-1189.
 8. Eagles, H. A., Hollamby, G. J., Gororo, N. N. & Eastwood, R. F. (2002). Estimation and utilization of glutenin gene effects from the analysis of unbalanced data from wheat breeding program. *Australian Journal of Agricultural Research*, 53, 367-377.
 9. Eizadi Darbandi, A. (2000). *Evaluation of electrophoreses polymorphism of LMW-GS in bread wheat*. M. Sc. thesis. University of Tehran. (In Farsi).
 10. Gupta, R. B., Khand, K. & Macritchie, F. (1993). Biochemical basis of flour properties in bread wheat. I. Effects of variation in quantity and size distribution of polymeric protein. *J Cereal Sci*, 18, 23-41.
 11. Huang, Z., Long, H., Yan, Z. H., Wei, Y. M. & Zheng, Y. L. (2005). Sequence analysis of LMW-GS genes from *Aegilops tauschii* containing HMW glutenin subunits 5+12 with good quality. *High Technol Lett*, 15(7), 67–72.
 12. Ikeda, T. M., Branlard, G., Pena, R. J., Takata, K., Liu, L., Lerner, S. E. & Kolman, M. A. (2008). International collaboration for unifying Glu-3 nomenclature system in common wheats. In: Proceedings of the 11th International Wheat Genetics Symposium. Sydney University Press.
 13. Ikeda, T. M., Nakamichi, K., Nagamine, T., Yano, H. & Anagisawa, Y. (2003). Identification of specific low-molecular-weight glutenin subunit related to gluten quality in bread wheat. *JARQ*, 37, 99-103.
 14. Johal, J., Gianibelli, M. C., Rahman, S., Morell, M. K. & Galem, K. R. (2004). Characterization of low-molecular-weight glutenin genes in *Aegilops tauschii*. *Theoretical and Applied Genetics*, 109, 1028–1040.
 15. Liu, L., He, Z. H., Ma, W. J., Liu, J. J., Xia, X. C. & Pena, R. J. (2009). Allelic variation at the Glu-D3 locus in Chinese bread wheat and effects on dough properties, pan bread and noodle qualities. *Cereal Research Communications*, 37, 57-64.
 16. Long, H., Huang, Z., Wei, Y. M., Yan, Z. H., Ma, Z. C. & Zheng, Y. L. (2008). Length Variation of i-Type Low-Molecular-Weight Glutenin Subunit Genes in Diploid Wheats. *Russian Journal of Genetics*, 44(4), 429–435.
 17. Long, H., Wei, Y. M., Yan, Z. H. & Baun, B. (2005). Classification of wheat low molecular weight glutenin subunit genes and its chromosome assignment by development LMW-GS group-specific primers. *Theoretical and Applied Genetics*, 111, 1251-1259.
 18. Masci, S., D'Ovidio, R., Lafiandra, D. & Kasarda, D. D. (1998). Characterization of a low-molecular-weight glutenin subunit gene from bread wheat and the corresponding protein that represents a major subunit of the glutenin polymer. *Plant Physiol*, 118, 1147–1158
 19. Murray, M. & Thompson, W. F. (1980). Rapid isolation of high molecular weight plant DNA. *Nucleic Acids Res*, 8, 4321–4325.
 20. Nei, M. (1973). Analysis of gene diversity in subdivided populations. In: Proceedings of National Academy of Science USA, 70, 3321–3323.
 21. Roy, J. K., Bandopadhyay, R., Rustgil, S., Balyanl, H. S. & Guptal, P. K. (2006). Association analysis of agronomically important traits using SSR, SAMPL and AFLP markers in bread wheat. *Current science*, 90, 5-10.
 22. Shewry, P. R., Halford, N. G. & Tatham, A. S. (1989). The high molecular weight subunits of wheat, barley and rye. In: Miflin, B.J., (Ed.), *Genetics, molecular biology, chemistry and role in wheat Gluten structure and functionality*, Oxford Survey Plant Molecular and Cellular Biology, vol. 6. University Press, New York, pp. 163–219.
 23. Wang, L., Zhao, X., He, Z. & Xia, X. (2008). Characterization of low-molecular-weight glutenin subunit genes at Glu-B3 and GluD3 loci and development of functional markers in common wheat. In: Proceedings of the 11th International Wheat Genetics Symposium. Sydney University Press.
 24. Wang, ZQ., Long, H., Zheng, Y. L., Yan, Z. H., Wei, Y. M. & Lan, X. J. (2005). Cloning and analysis of LMW-GS Genes from *Triticum aestivum* ssp. *Tibeticum Shao*. *Acta Genetica Sinica*, 32, 86–93.